

PHYSIOLOGIE CORONAIRE : LA PRATIQUE AU QUOTIDIEN POUR L'ANGIOPLASTICIEN

CARTOGRAPHIE CORONAIRE: PULLBACK VIRTUAL ANGIOPLASTY

BRAHIM HARBAOUI MD, PHD
HÔPITAL DE LA CROIX ROUSSE

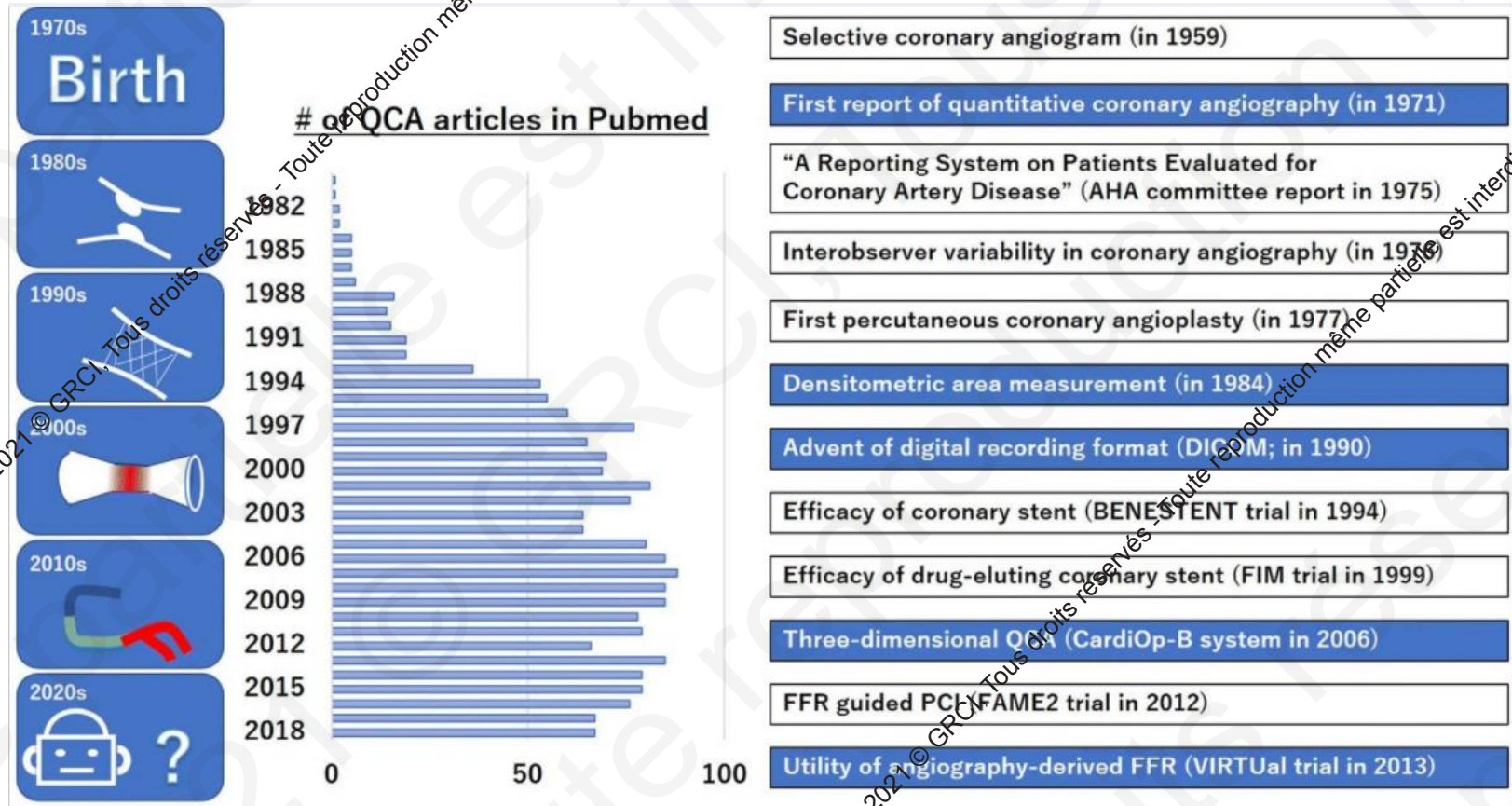
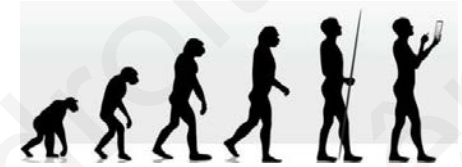
GRCI 2021

HCL
HOSPICES CIVILS
DE LYON

CARTOGRAPHIE / VIRTUAL ANGIOPLASTY

NOUVEAU CONCEPT?

- QCA



VIRTUAL PCI

QU'EST CE QUE C'EST?



3

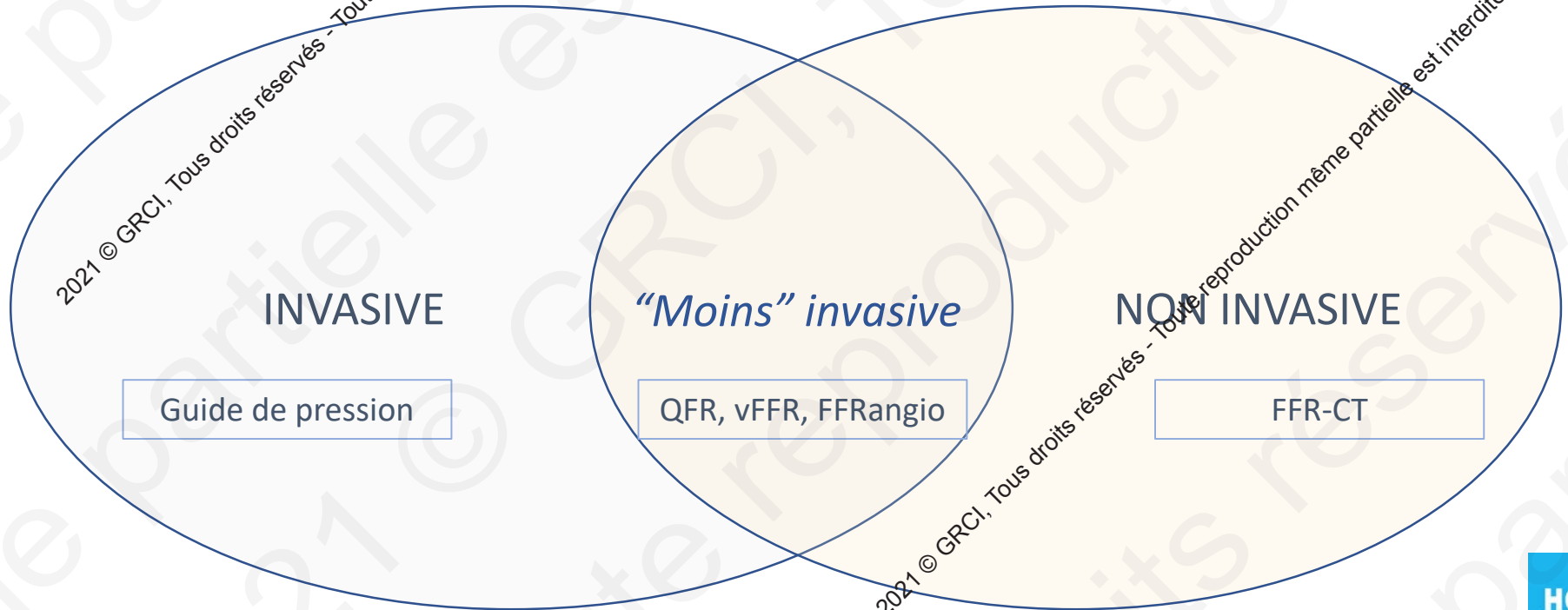
- Outils de prédiction/simulation résultat fonctionnel post PCI
 - Post-PCI FFR/iFR
- Outils de planification de stratégie de stenting
 - Aide à la décision
 - Eléments anatomiques
 - Eléments physiologiques

Pullback = Pierre angulaire

VIRTUAL PCI

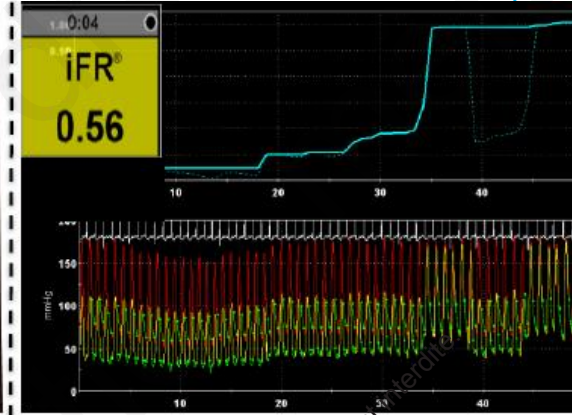
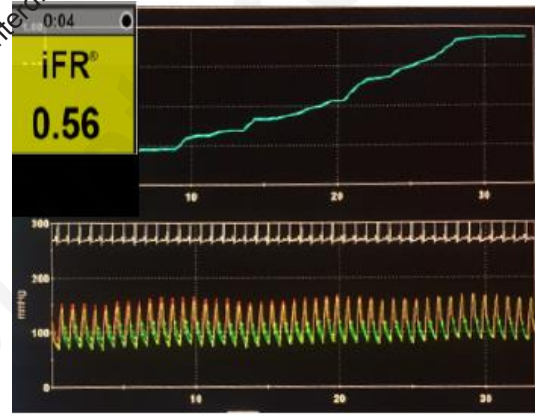
CARTOGRAPHIE CORONAIRE

Fullback = Pierre Angulaire

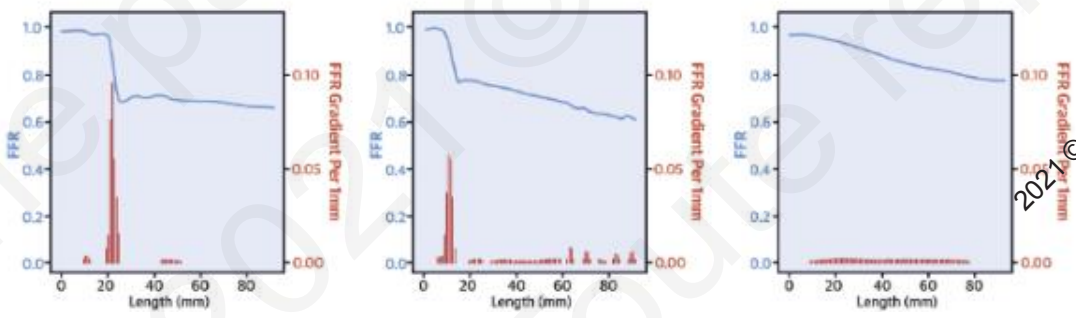
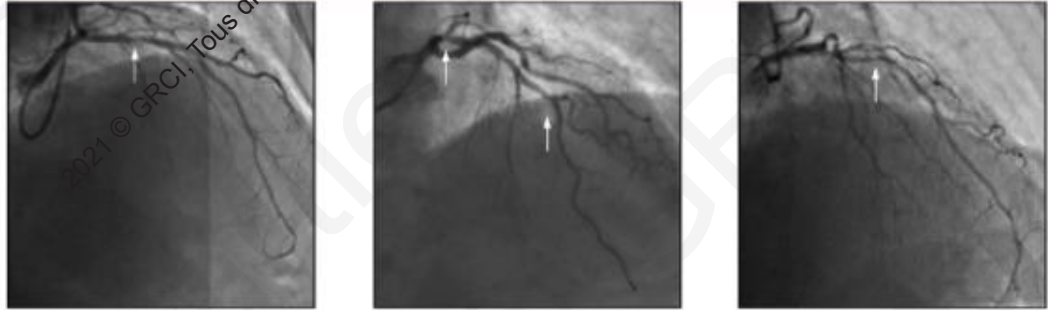


INTERET DU PULLBACK

CARTOGRAPHIE/MAPPING CORONAIRE



Focal CAD Combined CAD Diffuse CAD



Courtesy Eric Vanhose
Coronary Physiology course Lille, 2018

POST PCI PHYSIOLOGY

POURQUOI?

● Seuils post-PCI

- Pd/Pa \leq 0.96
- FFR \leq 0.89
- iFR/dPR \leq 0.89
- QFR/vFFR \leq 0.89

● Pronostique

● Fréquent

- 20-56% < seuil

TABLE 3 Cutoff Values for Postprocedural Fractional Flow Reserve and Correlation to Clinical Outcome

First Author (Ref. #)	Year	n	Indication	PCI	Cutoff	FUP, mo	Definition
Pijls et al (75)	2002	750	SA	BMS	NA	6	NA
Nam et al (111)	2011	80	SA	DES	\leq 0.90	12	AUC 0.69
Desar et al (112)	2011	66	SA	DES	\leq 0.95	24	AUC 0.62 (113)
Ito et al (114)	2014	97	SA	DES	\leq 0.90	18	AUC 0.82
Reith et al (115)	2015	64	SA	DES	$<$ 0.905	20	AUC 0.768
Agarwal et al (10)	2016	574	SA/ACS	DES	\leq 0.86	31	AUC
Li et al (116)	2017	1,476	SA/UA	DES	\leq 0.88	36	AUC 0.83
Piroth et al (117)	2017	639	SA/ACS	DES	\leq 0.91	24	AUC
Azzalini et al (118)	2019	95	SA/ACS	DES	\leq 0.89	12	NA
Hwang et al (85)	2019	635	SA/ACS	DES	\leq 0.81 LAD, \leq 0.87 non-LAD	24	AUC 0.70 and AUC 0.72
Diletti et al (119)	2020	959	SA/ACS	DES	\leq 0.089	24	NA

TABLE 4 Cutoff Values for Postprocedural Nonhyperemic Pressure Ratios and 3D QCA-Based FFR and Correlation to Clinical Outcome

First Author (Ref. #)	Index	Year	n	Indication	PCI	Cutoff	FUP, mo	Definition
Hakeem et al (76)	Pd/Pa	2019	664	SA/ACS	DES	\leq 0.96	30	AUC
Patel et al (79)	iFR	2019	520	SA	DES	$<$ 0.96	12	AUC 0.74
Masdjedi et al (77)	dPR	2020	885	SA/ACS	DES	\leq 0.89	24	AUC
Kogame et al (80)	QFR	2019	771	SA/UA	DES	\leq 0.90	24	AUC 0.70
Biscaglia et al (10)	QFR	2019	751	SA/ACS	DES	\leq 0.89	21	AUC 0.77
Masdjedi et al (24)	vFFR	2020	100	SA/UA/NSTEMI	DES	\leq 0.89	NA compared with FFR \leq 0.89	AUC 0.98

dPR = diastolic pressure ratio; iFR = instantaneous wave-free ratio; NSTEMI = non-ST-segment elevation myocardial infarction; UA = unstable angina; other abbreviations as in Tables 1 to 3.

POST PCI

QFR

Revascularization with successful stent implantation

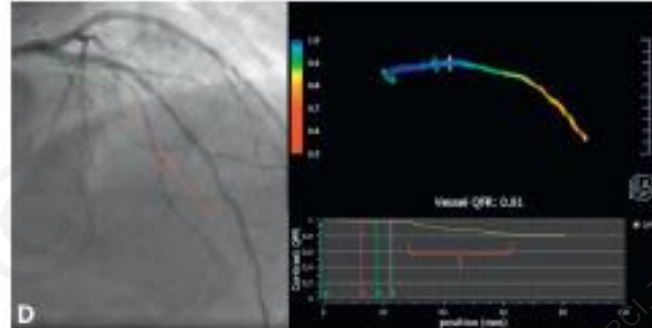
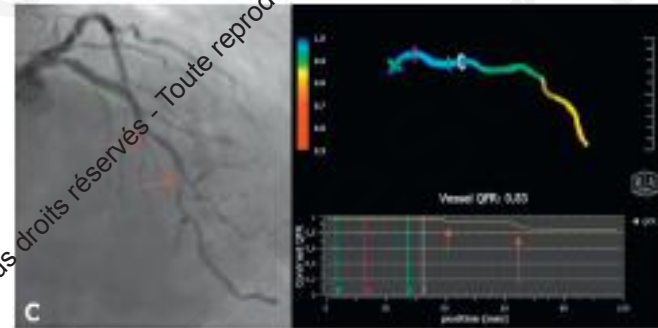
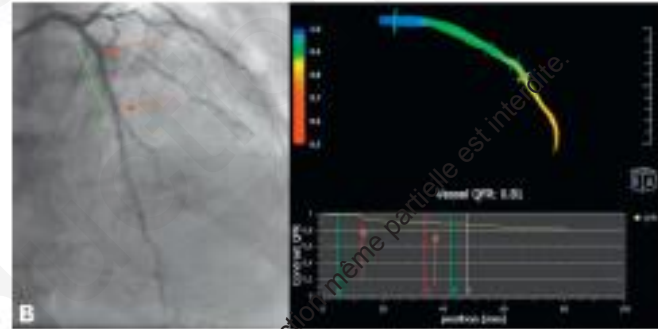
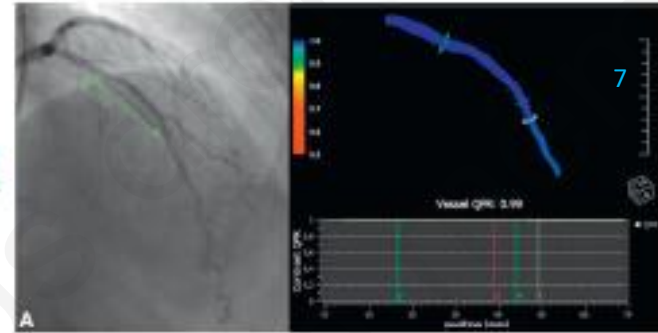
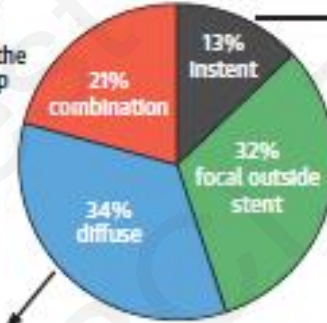
Post-PCI measurement of QFR → QFR value >0.89

Low rate of adverse events and need of repeat revascularization

QFR value ≤0.89

3-time increase in the risk of VOCE
Adjusted HR 2.91, 95% CI 1.63-5.19

Identification of the site of QFR drop



- Virtual pullback
- QFR post ≤ 0,89
 - Impact pronostique
 - Patterns
 - Focal
 - Diffus
 - Mixte

MAPPING CORONAIRE ET VIRTUAL PCI

FFR, IFR INVASIVES

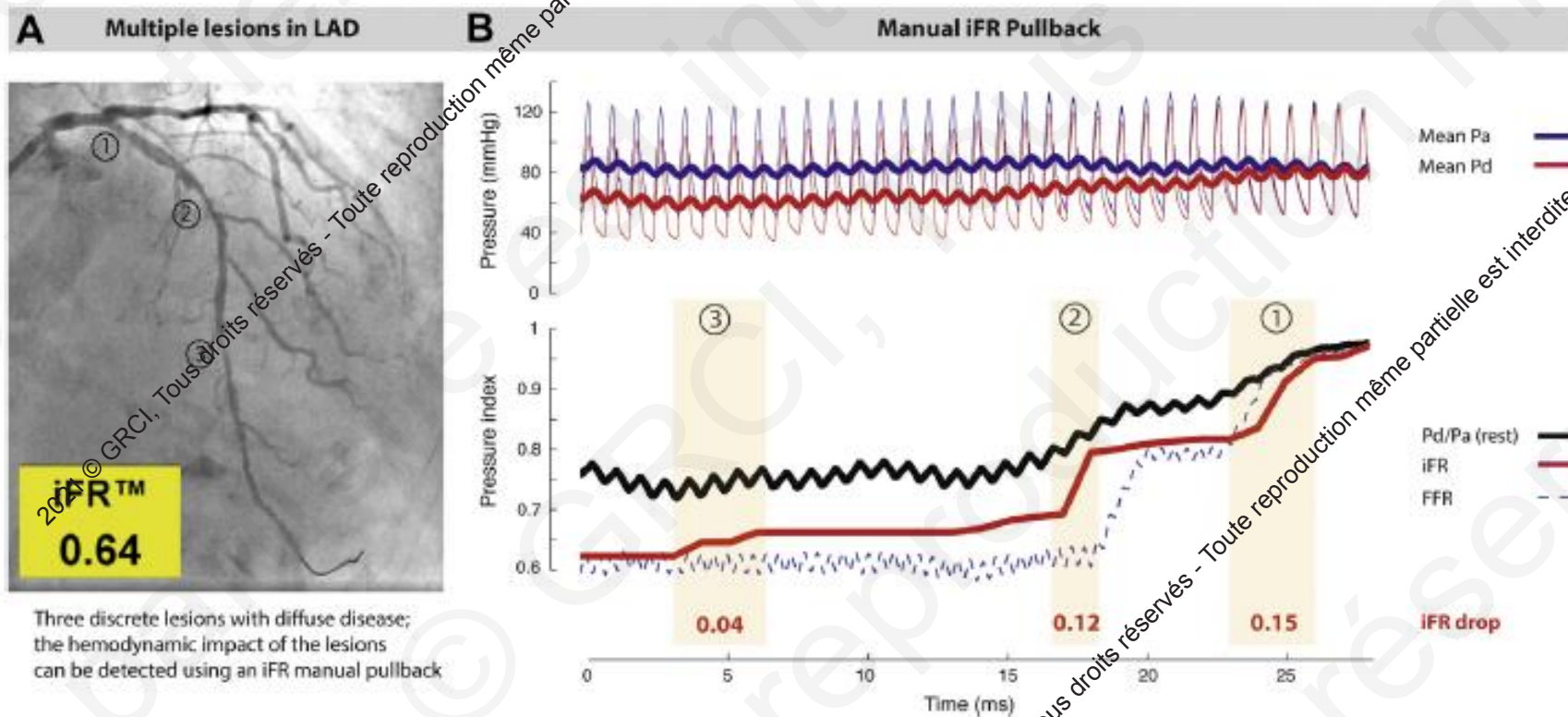


FIGURE 6 iFR Pullback Can Be Performed Manually and Can Predict the Effect of PCI

2021 © GRCI, Tous droits réservés - Toute reproduction même partielle est interdite.

VIRTUAL PCI

STENTING ET IMPACT PHYSIO POST-PCI

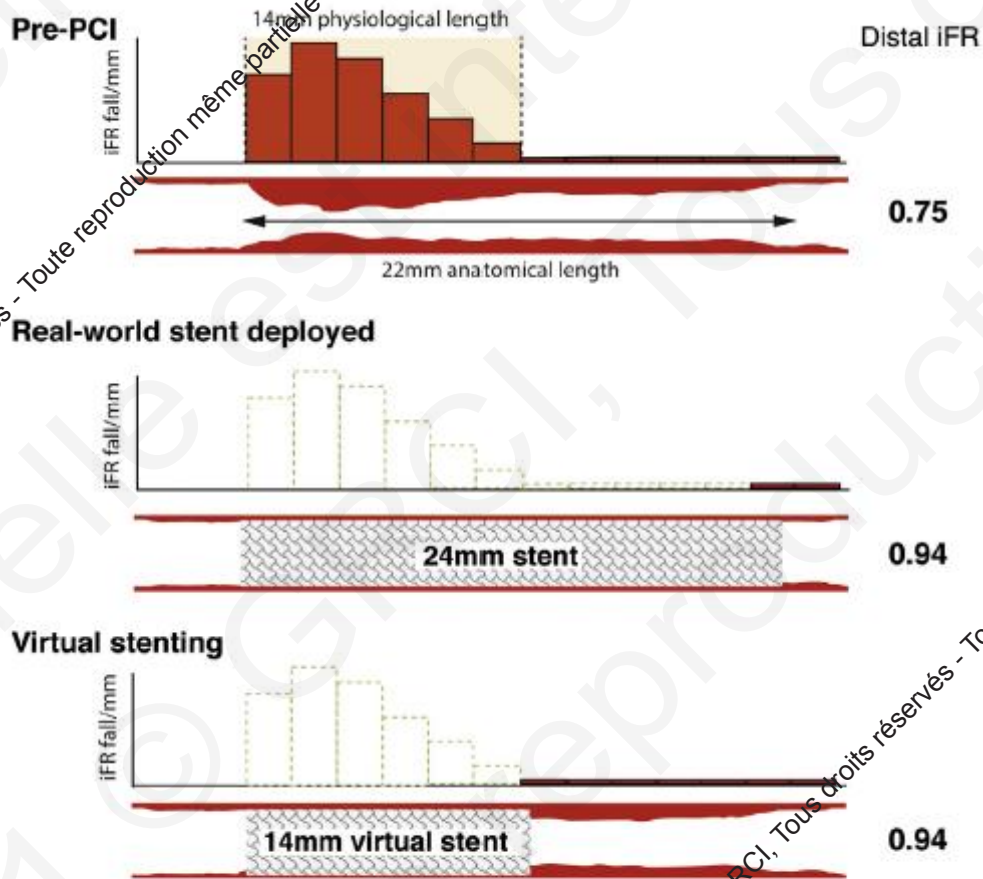
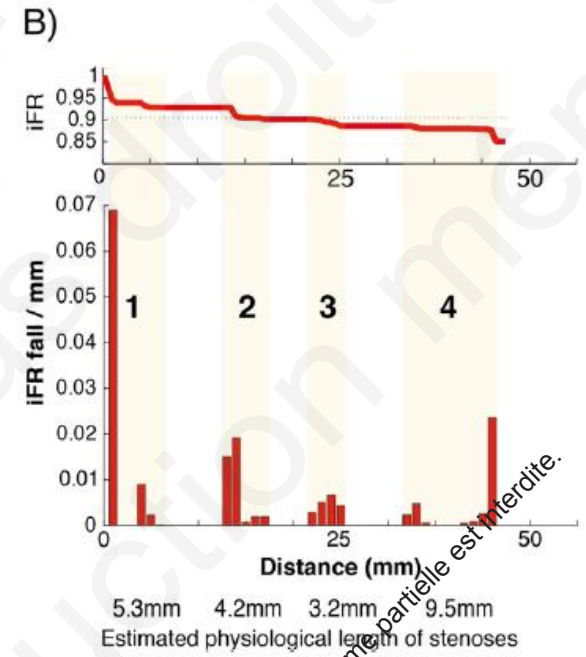
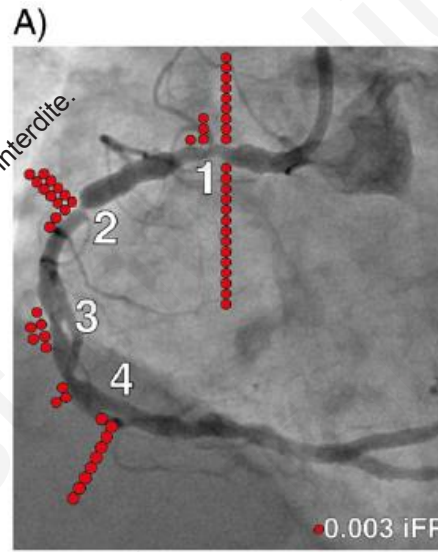


FIGURE 5 Planned Analysis of Lesion Lengths

VIRTUAL PCI

QUANTIFICATION DU PULLBACK, IFR

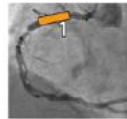
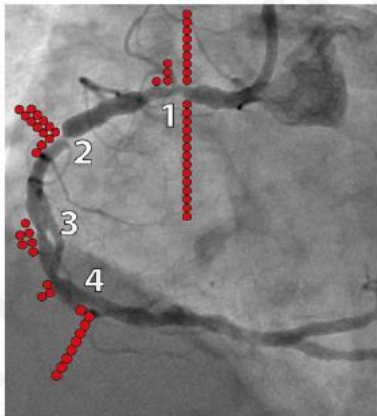
- Coregistration



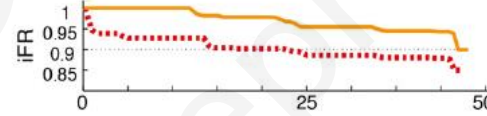
A) RCA with 4 distinct areas of pressure loss

B) Different stenting strategies can be considered

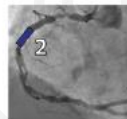
C) The physiological results of each stenting strategy can be predicted



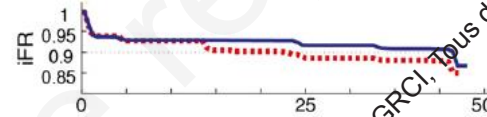
1 only



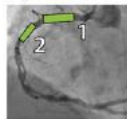
iFR 0.96



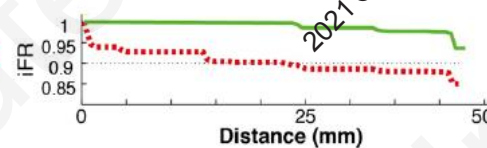
2 only



iFR 0.88



1 and 2



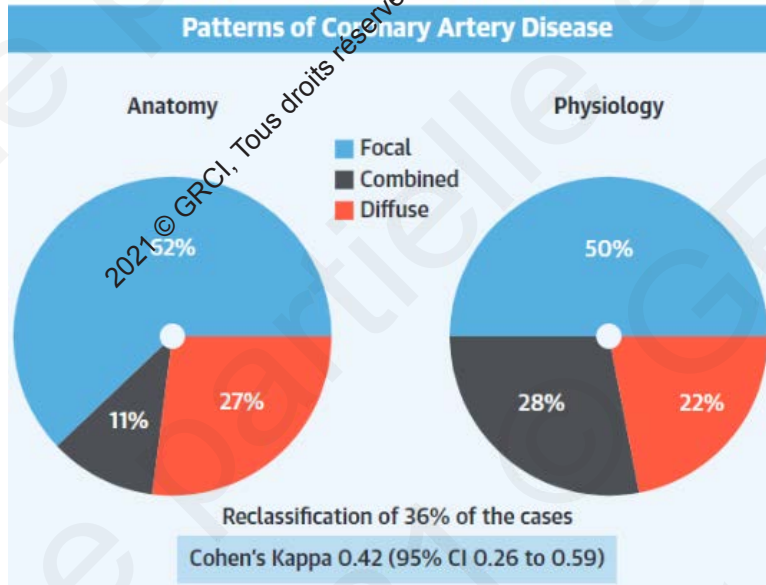
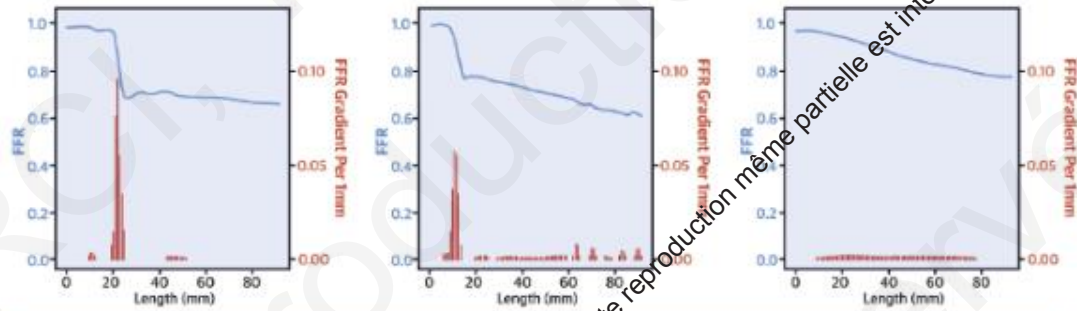
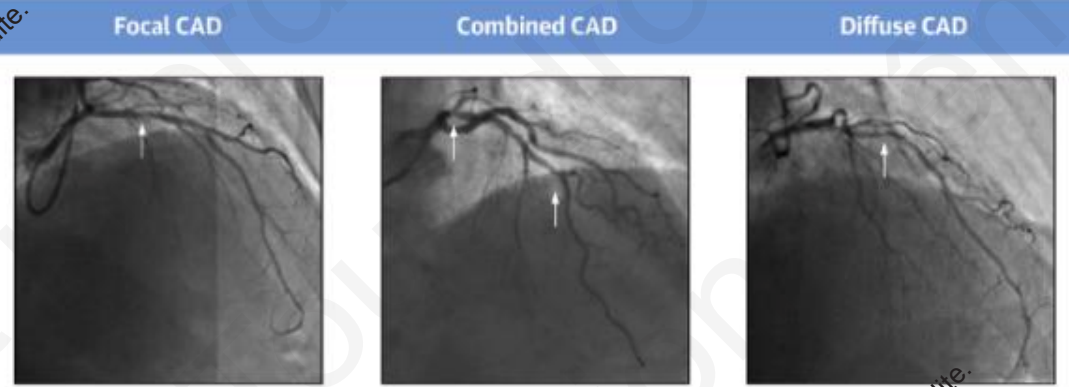
iFR 0.94

QUANTIFICATION DU PULLBACK, FFR

- PPG_{index}

$$\left\{ \frac{MaxPPG_{20mm}}{\Delta FFR_{vessel}} + \left(1 - \frac{Length\ with\ functional\ disease\ (mm)}{Total\ vessel\ length\ (mm)} \right) \right\} / 2$$

- Hyperemie IVSE



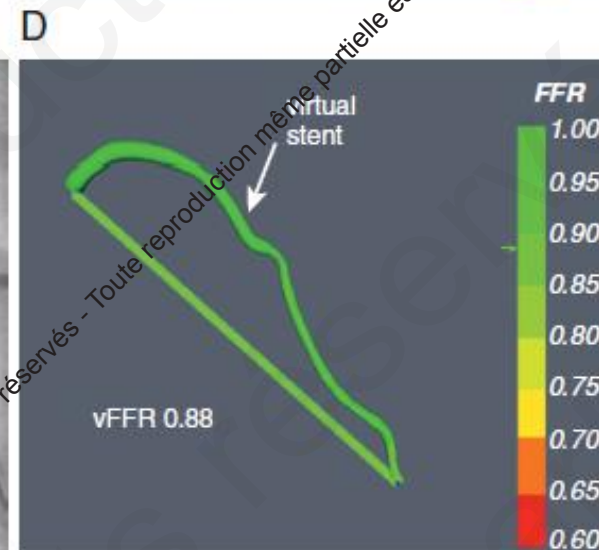
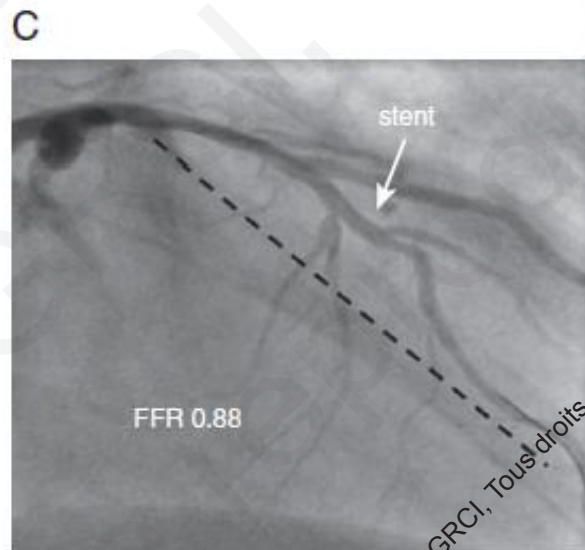
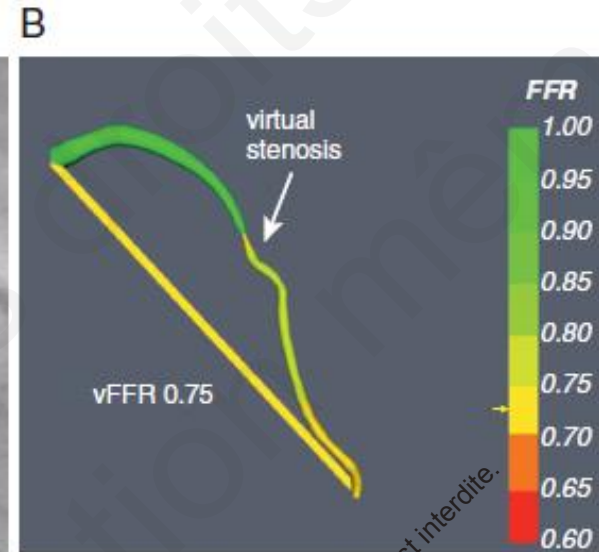
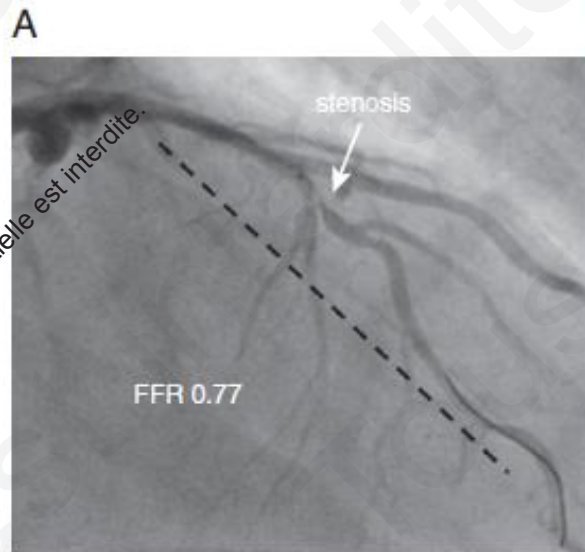
Pullback Pressure Gradients Index
 $(MaxPPG_{20mm} / \Delta FFR_{vessel} + (1 - Length\ with\ Functional\ Disease\ (mm) / Total\ Vessel\ Length\ (mm))) / 2$

$\frac{MaxPPG_{20mm}}{\Delta FFR_{vessel}} = \frac{0.300}{0.325} = 0.923$ Length CAD = $\frac{20}{100} = 0.200$ $PPG\ Index = \frac{0.923 + (1 - 0.20)}{2} = 0.86$	$\frac{MaxPPG_{20mm}}{\Delta FFR_{vessel}} = \frac{0.236}{0.387} = 0.610$ Length CAD = $\frac{65}{92} = 0.707$ $PPG\ Index = \frac{0.610 + (1 - 0.707)}{2} = 0.45$	$\frac{MaxPPG_{20mm}}{\Delta FFR_{vessel}} = \frac{0.056}{0.193} = 0.290$ Length CAD = $\frac{74}{101} = 0.733$ $PPG\ Index = \frac{0.290 + (1 - 0.733)}{2} = 0.28$
--	--	---

VIRTUAL PCI

VFFR

- Virtual Pullback
- Simple et rapide
- 2 incidences
- Pression aortique



2021 © GRCI, Tous droits réservés - Toute reproduction même partielle est interdite.

VIRTUAL PCI

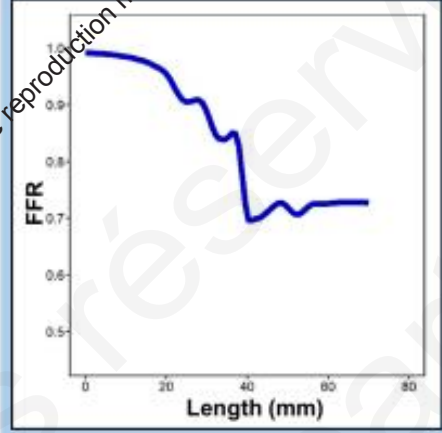
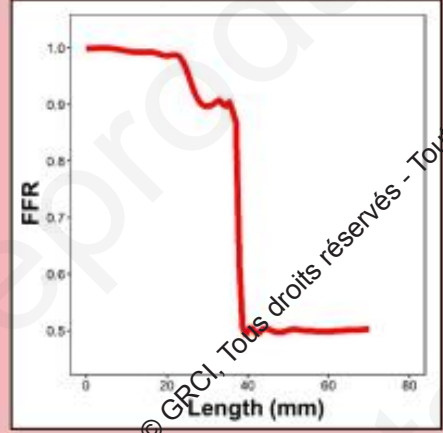
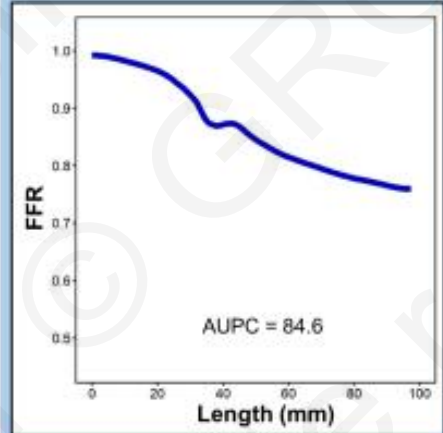
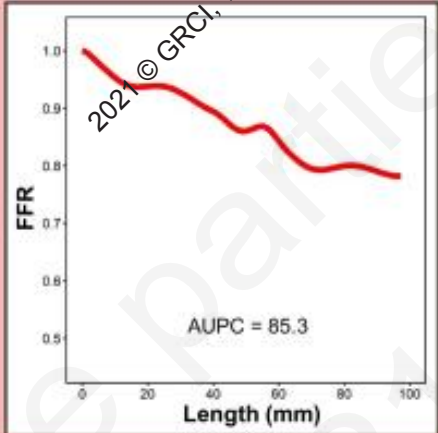
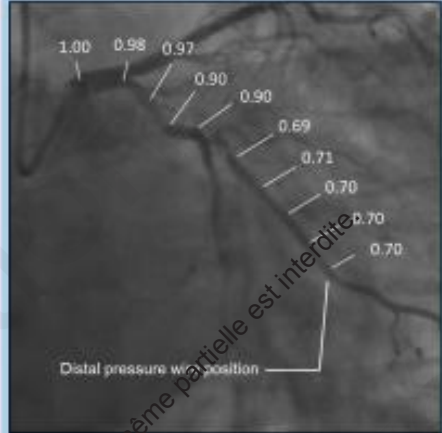
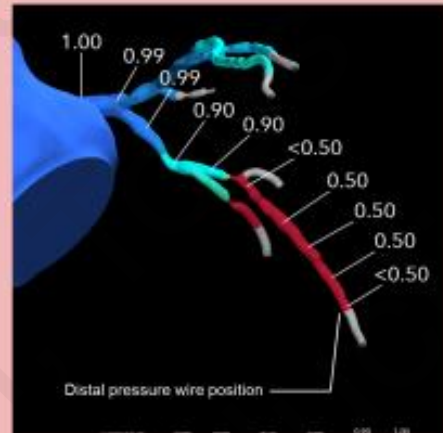
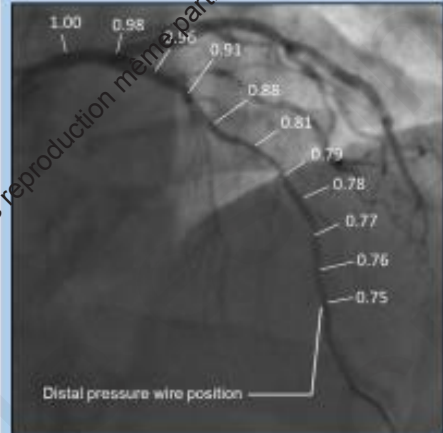
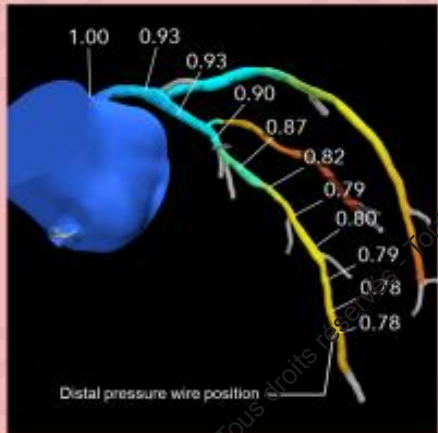
FFR CT, VIRTUAL PULLBACK

Virtual pullback derived from FFR_{CT}

Motorized FFR pullback

Virtual pullback derived from FFR_{CT}

Motorized FFR pullback



2021 © GRCl, Tous droits réservés - Toute reproduction même partielle est interdite.

CARTOGRAPHIE / VIRTUAL PCI

CONCLUSIONS

- Outil séduisant de physiologie moderne
 - Pullback invasif et virtuel+++
 - Focal, diffus, mixte
 - Simulation stenting
 - Prédiction Physio post-PCI
- Le but n'est pas de stenter moins ou plus mais mieux
 - Semble avoir un impact pronostique
- Evaluation clinique prospective

